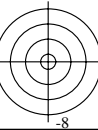
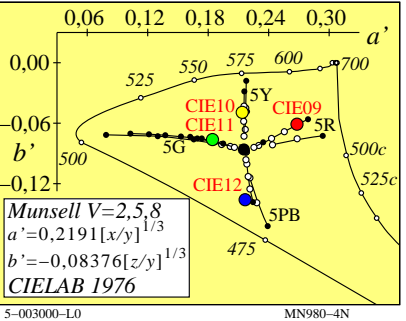
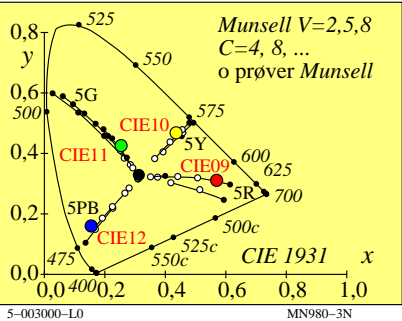




se lignende filer: <http://farbe.li.tu-berlin.de/MN98/MN98L0NP.PDF/.PS>

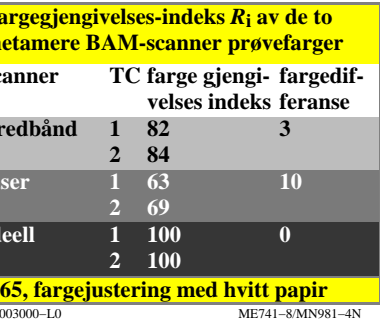
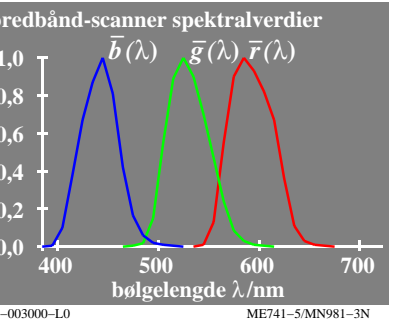
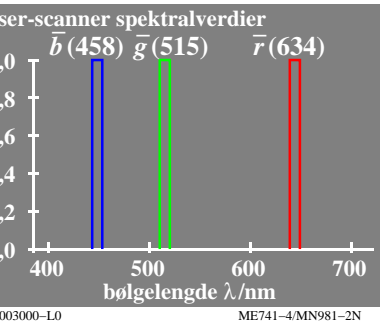
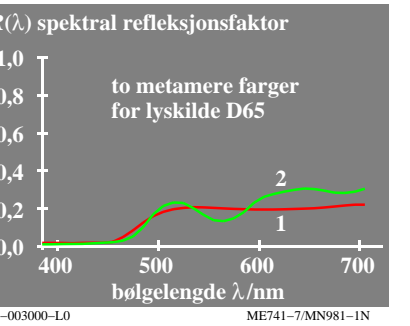


farge-egenskaper til den lavere og høyere fargemetrikkene	type fargeblanding	dikromatisk	trikromatisk
<i>lavere farge- eller valensmetrikk</i> hvitverdi W sortverdi N kulørverdi C	(for $Y_- \geq B_-$) B_- $100 - Y_-$ $Y_- - B_-$	(for $R_- \geq G_- \geq B_-$) B_- $100 - R_-$ $R_- - B_-$	
<i>høyere farge- eller fornemmelsesmetrikk</i> hvithet W^* sorthet N^* kulørhet C^*	(for $Y^*_- \geq B^*_-$) B^*_- $100 - Y^*_-$ $Y^*_- - B^*_-$	(for $R^*_- \geq G^*_- \geq B^*_-$) B^*_- $100 - R^*_-$ $R^*_- - B^*_-$	
			MN980-1N
			5-003000-L0



lavere fargemetrikk (fargedata: lineær relasjon til CIE 1931 data)		
lineære fargebetegnelser	navn og sammenheng med CIE tristimulus- eller kromatisitetsverdier	merknader
tristimulus-verdier	X, Y, Z	
kulørverdi rød-grønn	lineært kulørverdi diagram (A, B) $A = [X / Y - X_n / Y_n] Y = [a - a_n] Y$ $= [x / y - x_n / y_n] Y$	$n=D65$ (omfelt)
gul-blå	$B = -0,4 [Z/Y - Z_n/Y_n] Y = [b - b_n] Y$ $= -0,4 [z / y - z_n / y_n] Y$	
radiell	$C_{AB} = [A^2 + B^2]^{1/2}$	
kromatisitet rød-grønn	lineært kromatisitetsdiagram (a, b) $a = X / Y = x / y$	sammenlign med lineær tappe-eksitasjon
gul-blå	$b = -0,4 [Z / Y] = -0,4 [z / y]$	$L/(L+M)=P/(P+D)$
radiell	$c_{ab} = [(a - a_n)^2 + (b - b_n)^2]^{1/2}$	$S/(L+M)=T/(P+D)$
		MN980-7N
		5-003000-L0

TUB-testplansje MN98; Computergrafikk og fargemetrikk
Bildeserie MN98, 3D=0, de=0



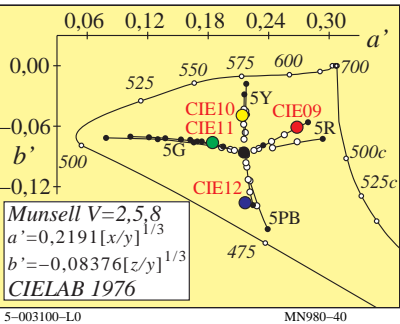
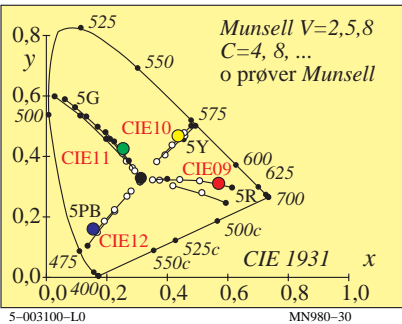
ikke-lineære størrelser	navn og sammenheng med tristimulus- eller kromatisitetsverdier	merknader
lyshet	$L^* = 116 (Y / 100)^{1/3} - 16 (Y > 0,8)$ tilnærming: $L^* = 100 (Y / 100)^{1/2,4} (Y > 0)$	CIELAB 1976
kulørhet	ikke-lineær transformasjon av kulørverdier A, B rød-grønn $a^* = 500 [(X / X_n)^{1/3} - (Y / Y_n)^{1/3}] = 500 (a' - a'_n) Y^{1/3}$ gul-blå $b^* = 200 [(Y / Y_n)^{1/3} - (Z / Z_n)^{1/3}] = 500 (b' - b'_n) Y^{1/3}$ radiell $C_{ab}^* = [a'^2 + b'^2]^{1/2}$	CIELAB 1976 $n=D65$ (omfelt)
kromatisitet	ikke-lineær transformasjon av kromatisiteter x/y, z/y rød-grønn $a' = (1 / X_n)^{1/3} (x / y)^{1/3} = 0,2191 (x / y)^{1/3}$ for D65 gul-blå $b' = -0,4 (1 / Z_n)^{1/3} (z / y)^{1/3} = -0,08376 (z / y)^{1/3}$ for D65 radiell $c'_{ab} = [(a' - a'_n)^2 + (b' - b'_n)^2]^{1/2}$	sammenlign med log tappe-eksitasjon $\log[L / (L+M)] = \log[P / (P+D)] = \log[S / (L+M)] = \log[T / (P+D)]$

input: $rgb/cmyk \rightarrow rgb/cmyk$
output: ingen endring
5-003000-L0 ME981-7N

se lignende filer: <http://farbe.li.tu-berlin.de/MN98/MN98L0NP.PDF/.PS>

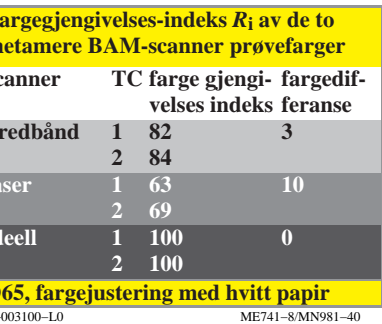
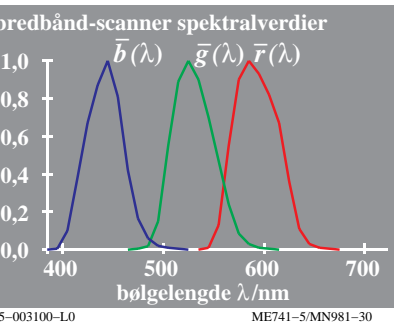
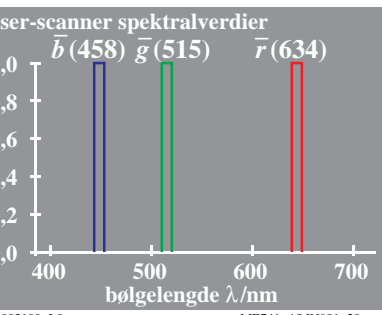
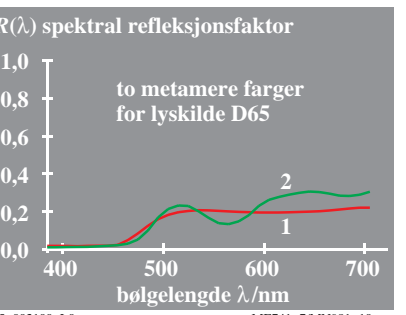
farge-egenskaper til den lavere og høyere fargemetrikken	type fargeblanding	dikromatisk	trikromatisk
lavere farge- eller valensmetrikk	dikromatisk	(for $Y_d \geq B_d$) B_d $100 - Y_d$ $Y_d - B_d$	(for $R_d \geq G_d \geq B_d$) B_d $100 - R_d$ $R_d - B_d$
høyere farge- eller fornemmelsermetrikk	trikromatisk	(for $Y^*_d \geq B^*_d$) B^*_d $100 - Y^*_d$ $Y^*_d - B^*_d$	(for $R^*_d \geq G^*_d \geq B^*_d$) B^*_d $100 - R^*_d$ $R^*_d - B^*_d$
hvitverdi	W	W	W
sortverdi	N	$100 - Y_d$	$100 - R_d$
kulørverdi	C	$Y_d - B_d$	$R_d - B_d$

5-003100-L0 MN98-10



lavere fargemetrikk (fargedata: lineær relasjon til CIE 1931 data)		
lineære fargebetegnelser	navn og sammenheng med CIE tristimulus- eller kromatisitetsverdier	merknader
tristimulus-verdier	X, Y, Z	
kulørverdi	lineært kulørverdi diagram (A, B) $A = [X / Y - X_n / Y_n] Y = [a - a_n] Y$ $= [x / y - x_n / y_n] Y$ $B = -0,4 [Z / Y - Z_n / Y_n] Y = [b - b_n] Y$ $= -0,4 [z / y - z_n / y_n] Y$ $C_{AB} = [A^2 + B^2]^{1/2}$	$n=D65$ (omfelt)
kromatisitet	lineært kromatisitetsdiagram (a, b) $a = X / Y = x / y$ $b = -0,4 [Z / Y] = -0,4 [z / y]$ $c_{ab} = [(a - a_n)^2 + (b - b_n)^2]^{1/2}$	sammenlign med linéær tappe-eksitasjon $L/(L+M)=P/(P+D)$ $S/(L+M)=T/(P+D)$

5-003100-L0 MN98-70



ikkelineære størrelser	navn og sammenheng med tristimulus- eller kromatisitetsverdier	merknader
lyshet	$L^* = 116 (Y / 100)^{1/3} - 16 (Y > 0,8)$ tilnærming: $L^* = 100 (Y / 100)^{1/2,4} (Y > 0)$	CIELAB 1976
kulørhet	ikkelineær transformasjon av kulørverdier A, B rød-grønn $a^* = 500 [(X / X_n)^{1/3} - (Y / Y_n)^{1/3}] = 500 (a' - a'_n) Y^{1/3}$ gul-blå $b^* = 200 [(Y / Y_n)^{1/3} - (Z / Z_n)^{1/3}] = 500 (b' - b'_n) Y^{1/3}$ radiell $C_{ab}^* = [a^{*2} + b^{*2}]^{1/2}$	CIELAB 1976 $n=D65$ (omfelt)
kromatisitet	ikkelineær transformasjon av kromatisiteter x/y, z/y rød-grønn $a' = (1 / X_n)^{1/3} (x / y)^{1/3} = 0,2191 (x / y)^{1/3}$ for D65 gul-blå $b' = -0,4 (1 / Z_n)^{1/3} (z / y)^{1/3} = -0,08376 (z / y)^{1/3}$ for D65 radiell $c'_{ab} = [(a' - a'_n)^2 + (b' - b'_n)^2]^{1/2}$	sammenlign med log tappe-eksitasjon $\log[L / (L+M)]$ $= \log[P / (P+D)]$ $\log[S / (L+M)]$ $= \log[T / (P+D)]$

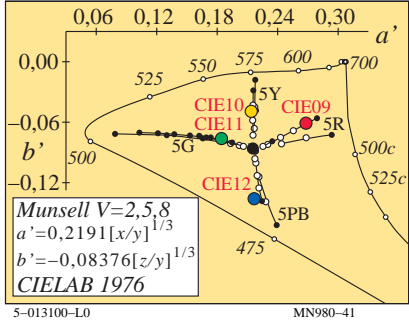
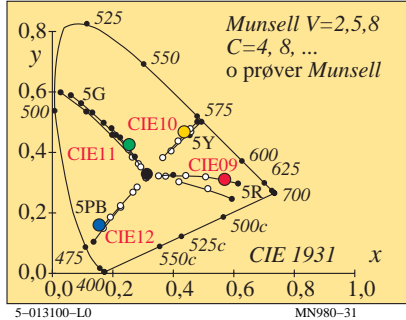
PE4300L_120830.TXT, 1080 colors, Separation cmyn6*
input: $rgb/cmky \rightarrow rgbd$
output: overføring til $rgbd$ 



farge-egenskaper til den lavere og høyere fargemetrikkene	type fargeblanding dikromatisk	trikromatisk
<i>lavere farge- eller valensmetrikk</i>		
hvitarverdi W	(for $Y_e \geq B_c$) B_e	(for $R_e \geq G_e \geq B_e$) B_e
sortverdi N	$100 - Y_e$	$100 - R_c$
kulørverdi C	$Y_e - B_e$	$R_c - B_e$
<i>høyere farge- eller fornemmelsesmetrikk</i>		
hvithet W^*	(for $Y_e^* \geq B_e^*$) B_e^*	(for $R_e^* \geq G_e^* \geq B_e^*$) B_c^*
sorhet N^*	$100 - Y_e^*$	$100 - R_e^*$
kulørhet C^*	$Y_e^* - B_e^*$	$R_e^* - B_e^*$

5-013100-L0

MN980-11



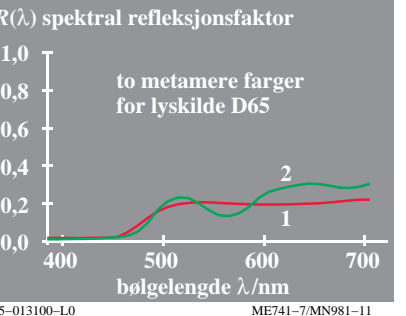
lavere fargemetrikk (fargedata: lineær relasjon til CIE 1931 data)

lineære fargebetegneler	navn og sammenheng med CIE tristimulus- eller kromatisitetsverdier	merknader
tristimulus-verdier	X, Y, Z	
kulørverdi	lineært kulørverdi diagram (A, B)	$n=D65$
rød-grønn	$A = [X / Y - X_n / Y_n] Y = [a - a_n] Y$ $= [x / y - x_n / y_n] Y$	(omfelt)
gul-blå	$B = -0,4 [Z / Y - Z_n / Y_n] Y = [b - b_n] Y$ $= -0,4 [z / y - z_n / y_n] Y$	
radiell	$C_{AB} = [A^2 + B^2]^{1/2}$	
kromatisitet	lineært kromatisitetsdiagram (a, b)	sammenlign med lineær tappe-eksitasjon
rød-grønn	$a = X / Y = x / y$	
gul-blå	$b = -0,4 [Z / Y] = -0,4 [z / y]$	$L/(L+M)=P/(P+D)$
radiell	$c_{ab} = [(a - a_n)^2 + (b - b_n)^2]^{1/2}$	$S/(L+M)=T/(P+D)$

5-013100-L0

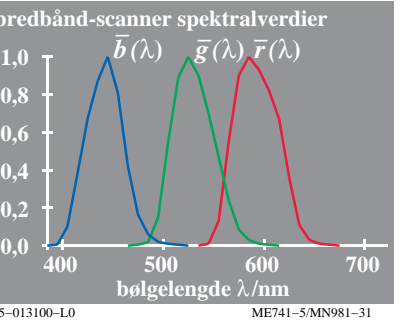
MN980-71

TUB-testplansje MN98; Computergrafikk og fargemetrikk
Bildeserie MN98, 3D=0, de=1, L-cmyn6



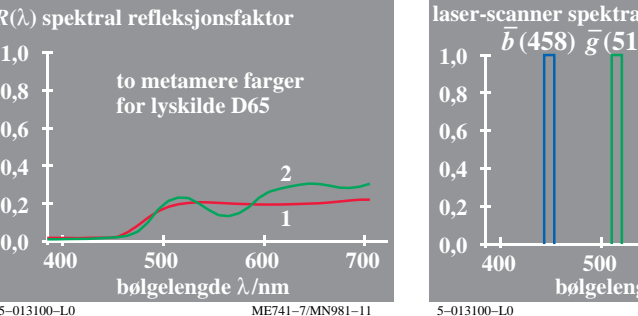
5-013100-L0

ME741-7/MN981-11



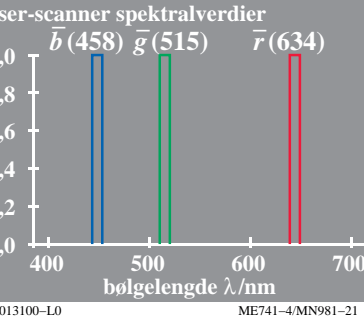
5-013100-L0

ME741-5/MN981-31



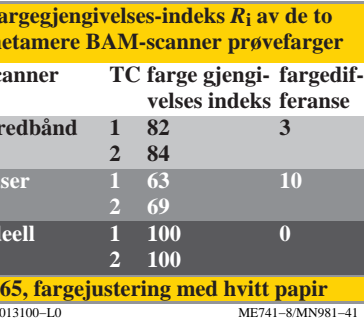
5-013100-L0

ME741-4/MN981-21



5-013100-L0

ME741-4/MN981-21



5-013100-L0

ME741-8/MN981-41

ikkelineære størrelser	navn og sammenheng med tristimulus- eller kromatisitetsverdier	merknader
lyshet	$L^* = 116 (Y / 100)^{1/3} - 16 (Y > 0,8)$ tilnærming: $L^* = 100 (Y / 100)^{1/2,4} (Y > 0)$	CIELAB 1976
kulørhet	ikkelineær transformasjon av kulørverdier A, B $a^* = 500 [(X / X_n)^{1/3} - (Y / Y_n)^{1/3}]$ $= 500 (a - a_n) Y^{1/3}$	CIELAB 1976
rød-grønn	$b^* = 200 [(Y / Y_n)^{1/3} - (Z / Z_n)^{1/3}]$ $= 500 (b' - b'_n) Y^{1/3}$	CIELAB 1976
gul-blå	$C_{ab}^* = [a^{*2} + b^{*2}]^{1/2}$	$n=D65$ (omfelt)
radiell		
kromatisitet	ikkelineær transformasjon av kromatisiteter $x/y, z/y$ $a' = (1 / X_n)^{1/3} (x / y)^{1/3}$ $= 0,2191 (x / y)^{1/3}$ for D65	sammenlign med log tappe-eksitasjon
rød-grønn	$b' = -0,4 (1 / Z_n)^{1/3} (z / y)^{1/3}$ $= -0,08376 (z / y)^{1/3}$ for D65	$\log[L / (L+M)]$ $= \log[P / (P+D)]$ $\log[S / (L+M)]$ $= \log[T / (P+D)]$
gul-blå	$c'_{ab} = [(a' - a'_n)^2 + (b' - b'_n)^2]^{1/2}$	
radiell		

5-013100-L0

ME741-7/MN981-11

PE4300L_120830.TXT, 1080 colors, Separation cmyn6*

input: $rgb/cmky \rightarrow rgbe$ output: overføring til $rgbe$

MN981-71



-6



-6